ВЫБОР АМПЛИТУДНО-ЧАСТОТНЫХ ХАРАКТЕРИСТИК ВИБРАЦИОННЫХ ИЗМЕЛЬЧИТЕЛЕЙ ДЛЯ ОБРАБОТКИ СТРОИТЕЛЬНЫХ МАТЕРИАЛОВ С ПОЗИЦИИ НЕОБХОДИМОГО КРИТЕРИЯ РАБОТЫ

А. В. Сартаков

Алтайский государственный технический университет им. И.И. Ползунова, г. Барнаул

Предложена методика расчёта амплитудно-частотных характеристик вибрационных измельчителей с позиций теории вибрационных колебаний и теории удара. Получены уравнения для определения скоростей движения мелющих тел в загрузке мельницы.

Ключевые слова: Измельчение, виброизмельчители, внутримельничная загрузка, шаровые слои.

Вибрационные измельчители широко используются для тонкого и сверхтонкого измельчения строительных материалов с различными свойствами благодаря возможности настройки их рабочих режимов. Однако их работа должна чётко сочетаться с необходимыми условиями (критериями) обработки.

Одним из таких критериев является кинематическое обоснование процесса измельчение, которое связано с расчётом критических скоростей, необходимых для измельчения частиц с учётом свойств материала

В [1-3] она рассчитывается согласно теории Герца:

Для случая соударения частицы с мелющим телом

$$v_{\kappa p}^{I} = \begin{bmatrix} \frac{3 \cdot g^{\frac{3}{5}} \cdot (\delta_{1} + \delta_{2})^{\frac{2}{5}} \cdot \pi}{2^{\frac{4}{5}} \cdot 5^{\frac{3}{5}} \cdot \pi^{\frac{1}{5}} \cdot \rho^{\frac{3}{5}}} \cdot \left(\frac{r}{R}\right)^{2} \cdot \\ \cdot \left(1 + \frac{R^{3} \cdot \rho}{r^{3} \cdot \rho_{0}}\right)^{\frac{3}{5}} \cdot \left(1 + \frac{R}{r}\right)^{\frac{1}{5}} P_{T.np} \end{bmatrix}^{\frac{5}{6}},$$

(для случая соударения 2-х мелющих тел о защемлённую частицу

$$v_{\kappa p}^{\rm II} = \begin{bmatrix} \frac{3 \cdot 2^{\frac{9}{2}} \cdot g^{\frac{3}{5}} \cdot \left(\delta_{1} + \delta_{2}\right)^{\frac{2}{5}} \cdot \pi^{\frac{4}{5}}}{5^{\frac{8}{5}} \cdot \rho^{\frac{3}{5}}} \cdot \\ \cdot \frac{r}{R} \cdot \left(1 + \frac{R}{r}\right)^{\frac{1}{5}} P_{T.np} \end{bmatrix},$$

где $P_{T.np}$ – предельное напряжение (выносливое, упругое, пластическое, технический предел прочности),

$$\delta_1 = \frac{1 - \mu_1^2}{E_1 \cdot \pi}, \quad \delta_2 = \frac{1 - \mu_2^2}{E_2 \cdot \pi},$$

где μ_1 , μ_2 — коэффициенты Пуассона мелющего тела, измельчаемой частицы; E_1 , E_2 — модули Юнга; R, r — радиусы мелющего тела и измельчаемой частицы; ρ_1 , ρ_0 — удельные веса мелющего тела и измельчаемой частицы; g — ускорение свободного падения.

Реальная скорость измельчения находится в диапазоне $(v_{\kappa\rho}^{\ \ \ },v_{\kappa\rho}^{\ \ \ \ \ \ \ }).$

В [4] была получена зависимость определения скорости разрушения, которая имеет вид

$$V_p = \frac{K_m \rho^* \cdot S_i \cdot T \cdot \ell_i \cdot e_i}{0.42 \cdot N_t \cdot t/T} \quad ,$$

где S_i — удельная поверхность обрабатываемого материала; N_t — теоретическая потребляемая мощность для разрушения идеально твердого тела по Гриффитсу; t — время измельчения; K_m — молярная концентрация вещества; ρ^{\star} — удельная плотность дислокаций; l_i — средний линейный размер разрушаемых частиц; e — степень измельчения; T — температура среды.

Указанная зависимость позволяет определить скорость разрушения материала, исходя из более реальных условий, так как здесь учитываются многие характеристики, полно раскрывающие процесс измельчения.

Формирование и образование трещин (ρ), дисперсно-механические свойства вещества (S_i , I_i), химические (K_m) и тепловые (T) свойства, что в конечном счете позволит рассчитать скорость более точно.

Расчёт скоростей движения в самом измельчительном аппарате представляет определённую сложность из-за хаотичности, многократности столкновения друг с другом мелющих тел.

В связи с этим была предложена математическая модель движения мелющих тел в вибрационной мельнице. В основу модели было заложено изучение двух систем движения:

- 1) внешней системы (движение аппарата);
- 2) внутренней системы (движение в корпусе аппарата).

Для типового виброизмельчителя была составлена система дифференциальных уравнений вибрационных колебаний, решение которой имеет вид

$$x = \frac{m_{o}rw^{2}}{(m_{1} + m_{o})w^{2}}\cos(wt - \varphi_{x});$$

$$y = \frac{m_{o}rw^{2}}{c - (m_{1} + m_{o})w^{2}}\sin(wt - \varphi_{y}),$$

где m_0 – масса дебаланса; r – эксцентриситет массы относительно оси вращения; ω – угловая скорость дебаланса; m_1 – масса колеблющейся системы.

$$\varphi_{x} = 0, \varphi_{y} = 0, npu \sqrt{\frac{c}{m_{1} + m_{0}}} > w;$$

$$\varphi_{y} = \pi, npu \sqrt{\frac{c}{m_{1} - m_{0}}} < w,$$

$$c = 8 \cdot \pi \cdot D \cdot \frac{3 \cdot d^2 \cdot E}{\left[2 \cdot (2 + \eta) \cdot H^2 + 3 \cdot D^2\right]},$$

где d — диаметр прутка пружины; E — модуль упругости; D — средний диаметр навивки пружины; μ — коэффициент Пуассона; H — высота пружины [5].

Окончательно скорость движения вибрационного аппарата можно записать

$$V_{x} = \dot{x} = -\frac{m_{0}rw}{(m_{1} + m_{0})}\sin(wt - \varphi_{x});$$

$$V_{y} = \dot{y} = \frac{m_{0}rw^{3}}{c - (m_{1} + m_{0})w^{2}}\cos(wt - \varphi_{y}),$$

Далее рассматривается внутренняя система (движения мелющих тел в корпусе аппарате).

Несмотря на то, что, на движение слоя будут влиять характеристики взаимодействия его отдельно взятых шаров, допускается, что скорость всего слоя постоянна и зависима от характеристик удара стенки корпуса виброизмельчителя. Очередной слой мелющих тел будет передавать скорость колебаний следующему неподвижному слою с меньшей скоростью, таким образом, по мере удаления мелющих шаров от стенки барабана, энергия колебаний от слоя к слою будет затухать.

Рассмотрим перемещение наружного слоя шаров в вибрирующем корпусе (рисунок 1). Его движение будет осуществляться за счет взаимодействия с вибрирующими стенками аппарата. В данном случае ограничимся его рассмотрением в одной плоскости движения (ХҮ), т.е. в плоскости вибрации. Тело, находясь в этой плоскости под действием колебательных импульсов и сил тяжести, будет совершать циклические круговые колебания вдоль рассматриваемой плоскости, многократно ударяясь и сталкиваясь с вибрирующей стенкой аппарата.

При этом движение шара будет характеризоваться 3-мя степенями свободы, т.е.:

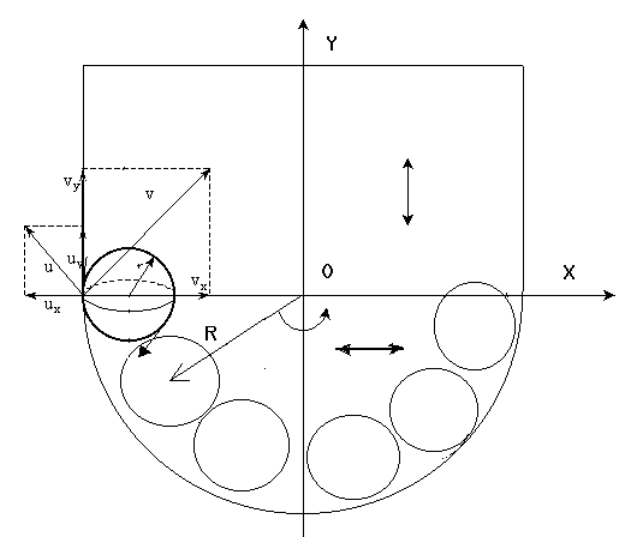


Рисунок 1 – Взаимодействие слоя мелющих тел с вибрирующей плоскостью

ВЫБОР АМПЛИТУДНО-ЧАСТОТНЫХ ХАРАКТЕРИСТИК ВИБРАЦИОННЫХ ИЗМЕЛЬЧИТЕЛЕЙ ДЛЯ ОБРАБОТКИ СТРОИТЕЛЬНЫХ МАТЕРИАЛОВ С ПОЗИЦИИ НЕОБХОДИМОГО КРИТЕРИЯ РАБОТЫ

- 1) Движение вдоль оси Х;
- 2) Движение вдоль оси Y;
- 3) Вращательное движение относительно плоскости XY.

Соударение шаров с вибрирующей плоскостью для поступательного и вращательного движений запишется через теорему сохранения импульсов

$$m_1u_1 + m_2u_2 = m_1v_1 + m_2v_2;$$

 $I_1w_1 + I_2w_2 = I_1w_1 + I_2w_2;$

где m_1,m_2 — массы шарового слоя и вибрирующей плоскости; I_1 , I_2 — моменты инерции соударяемых тел; u_1,u_2,w_1,w_2 — доударные скорости при поступательном и вращательном движениях; v_1,v_2,w_1',w_2' — послеударные скорости при поступательном и вращательном движениях.

Система уравнений недостаточно описывает скорости при ударе, т.к. здесь не отражается характер удара.

Используя гипотезы Ньютона и гипотезу сухого трения, можно записать

$$\begin{split} v_{1x} &= \frac{(m_1 - f \cdot m_2) \cdot u_{1x} + m_2 \cdot (1 + f) \cdot u_{2x}}{m_1 + m_2}; \\ v_{2x} &= \frac{m_1 \cdot (1 + f) \cdot u_{1x} + (m_2 - f \cdot m_1) \cdot u_{2x}}{m_1 + m_2}; \\ v_{1y} &= \frac{(m_1 - R \cdot m_2) \cdot u_{1y} + m_2 \cdot (1 + R) \cdot u_{2y}}{m_1 + m_2}; \\ v_{2y} &= \frac{m_1 \cdot (1 + R) \cdot u_{1y} + (m_2 - R \cdot m_1) \cdot u_{2y}}{m_1 + m_2}; \\ v_{1y} &= \frac{(I_1 - f \cdot I_2) \cdot \frac{u_{1x}}{\rho_u} + I_2 \cdot (1 + f) \cdot \frac{u_{2x}}{\rho_u}}{I_1 + I_2}; \\ v_{1y} &= \frac{I_1 \cdot (1 + f \cdot \frac{u_{1x}}{\rho_u}) + (I_2 - f \cdot I_1) \cdot \frac{u_{2x}}{\rho_u}}{I_1 + I_2}; \\ v_{2y} &= \frac{I_1 \cdot (1 + f \cdot \frac{u_{1x}}{\rho_u}) + (I_2 - f \cdot I_1) \cdot \frac{u_{2x}}{\rho_u}}{I_1 + I_2}; \\ v_{2y} &= \frac{I_1 \cdot (1 + f \cdot \frac{u_{1x}}{\rho_u}) + (I_2 - f \cdot I_1) \cdot \frac{u_{2x}}{\rho_u}}{I_1 + I_2}; \\ v_{2y} &= \frac{I_1 \cdot (1 + f \cdot \frac{u_{1x}}{\rho_u}) + (I_2 - f \cdot I_1) \cdot \frac{u_{2x}}{\rho_u}}{I_1 + I_2}; \\ v_{2y} &= \frac{I_1 \cdot (1 + f \cdot \frac{u_{1x}}{\rho_u}) + (I_2 - f \cdot I_1) \cdot \frac{u_{2x}}{\rho_u}}{I_1 + I_2}; \\ v_{2y} &= \frac{I_1 \cdot (1 + f \cdot \frac{u_{1x}}{\rho_u}) + (I_2 - f \cdot I_1) \cdot \frac{u_{2x}}{\rho_u}}{I_1 + I_2}; \\ v_{2y} &= \frac{I_1 \cdot (1 + f \cdot \frac{u_{1x}}{\rho_u}) + (I_2 - f \cdot I_1) \cdot \frac{u_{2x}}{\rho_u}}{I_1 + I_2}; \\ v_{2y} &= \frac{I_1 \cdot (1 + f \cdot \frac{u_{1x}}{\rho_u}) + (I_2 - f \cdot I_1) \cdot \frac{u_{2x}}{\rho_u}}{I_1 + I_2}; \\ v_{2y} &= \frac{I_1 \cdot (1 + f \cdot \frac{u_{1x}}{\rho_u}) + (I_2 - f \cdot I_1) \cdot \frac{u_{2x}}{\rho_u}}{I_1 + I_2}; \\ v_{2y} &= \frac{I_1 \cdot (1 + f \cdot \frac{u_{1x}}{\rho_u}) + (I_2 - f \cdot I_1) \cdot \frac{u_{2x}}{\rho_u}}{I_1 + I_2}; \\ v_{2y} &= \frac{I_1 \cdot (1 + f \cdot \frac{u_{1x}}{\rho_u}) + (I_2 - f \cdot I_1) \cdot \frac{u_{2x}}{\rho_u}}{I_1 + I_2}; \\ v_{2y} &= \frac{I_1 \cdot (1 + f \cdot \frac{u_{1x}}{\rho_u}) + (I_2 - f \cdot I_1) \cdot \frac{u_{2x}}{\rho_u}}{I_1 + I_2}; \\ v_{2y} &= \frac{I_1 \cdot (1 + f \cdot \frac{u_{1x}}{\rho_u}) + (I_2 - f \cdot I_1) \cdot \frac{u_{2x}}{\rho_u}}{I_1 + I_2}; \\ v_{2y} &= \frac{I_1 \cdot (1 + f \cdot \frac{u_{1x}}{\rho_u}) + (I_2 - f \cdot I_1) \cdot \frac{u_{2x}}{\rho_u}}{I_1 + I_2}; \\ v_{2y} &= \frac{I_1 \cdot (1 + f \cdot \frac{u_{1x}}{\rho_u}) + (I_2 - f \cdot I_1) \cdot \frac{u_{2x}}{\rho_u}}{I_1 + I_2}; \\ v_{2y} &= \frac{I_1 \cdot (1 + f \cdot \frac{u_{1x}}{\rho_u}) + (I_2 - f \cdot I_1) \cdot \frac{u_{2x}}{\rho_u}}{I_1 + I_2}; \\ v_{2y} &= \frac{I_1 \cdot (1 + f \cdot \frac{u_{1x}}{\rho_u}) + (I_2 - f \cdot I_1) \cdot \frac{u_{2x}}{\rho_u}}{I_1 + I_2}; \\ v_{2y} &= \frac{I_1 \cdot (1 + f \cdot \frac{u_{1x}}{\rho_u}) + (I_2 - f \cdot \frac{u_$$

где R – коэффициент восстановления; f – коэффициент сухого трения; $\rho_{\text{ш}}$ – радиус слоя шаровой загрузки.

В то же время, учитывая условия вибрационного перемещения, можно записать общее уравнение для движения шаров в колебательной плоскости

$$\begin{split} v_{x} &= \frac{m_{1}(1+f)}{m_{1}+m_{2}} \cdot \left(-\frac{m_{0}rw}{(m_{1}+m_{0})} \cdot \sin(wt - \varphi_{x})\right) + \\ &+ \frac{(m_{2}-f \cdot m_{1}) \cdot u_{2x}}{m_{1}+m_{2}}; \\ v_{y} &= \frac{m_{1} \cdot (1+R)}{m_{1}+m_{2}} \cdot \\ &\cdot \left(-\frac{m_{0} \cdot r \cdot w^{3}}{c - (m_{1}+m_{0}) \cdot w^{2}} \cos(w \cdot t - \varphi_{x})\right) + \\ &+ \frac{(m_{2}-R \cdot m_{1}) \cdot u_{2y}}{m_{1}+m_{2}}; \\ w_{1}' &= \frac{I_{1} \cdot (1+f)}{m_{1}+m_{2}} \cdot \\ &\cdot \left(-\frac{m_{0} \cdot r \cdot w}{\rho_{w} \cdot (m_{1}+m_{0})} \cdot \sin(w \cdot t - \varphi_{x})\right) + \\ &+ \frac{(I_{2}-f \cdot I_{1}) \cdot \frac{u_{2x}}{\rho_{w}}}{m_{1}+m_{2}} \end{split}$$

где m_1 , m_2 – массы виброплоскости и шарового слоя; U_1 , U_2 – начальные скорости движения шарового слоя.

Вышеуказанная система через амплитуду колебаний корпуса мельницы выразится

$$\begin{split} v_{x} &= \frac{m_{1}(1+f)}{m_{1}+m_{2}} \cdot (-A_{x}w \cdot \sin(wt - \varphi_{x})) + \\ &+ \frac{(m_{2}-f \cdot m_{1}) \cdot u_{2x}}{m_{1}+m_{2}}; \\ v_{1y} &= \frac{m_{1}(1+R)}{m_{1}+m_{2}} \cdot (A_{y}w \cdot \cos(wt - \varphi_{y})) + \\ &+ \frac{(m_{2}-R \cdot m_{1}) \cdot u_{2y}}{m_{1}+m_{2}}; \\ w_{1}' &= \frac{I_{1} \cdot (1+f)}{m_{1}+m_{2}} \cdot \left(-\frac{A_{x}}{\rho_{ux}} \cdot \sin(wt - \varphi_{x})\right) + \\ &+ \frac{(I_{2}-fI_{1}) \frac{u_{2x}}{\rho_{ux}}}{m_{1}+m_{2}} \end{split}$$

где A_x , A_y – амплитуды колебаний вдоль осей вибрирующей плоскости.

$$A_{x} = \frac{m_{0}rw^{2}}{(m_{1} + m_{0})w^{2}};$$

$$A_{y} = \frac{m_{0}rw^{2}}{c - (m_{1} + m_{0})w^{2}}$$

Таким образом, были получены уравнения движения слоя шаров в плоскости вибрации, учитывающие амплитудно-частотные характеристики вибрирующего органа, условия удара, массу и размеры мелющих тел (шаров).

Аналогично эти зависимости будут прослеживаться при единичном столкновении 2-х шаровых слоёв, т.е. согласно условиям удара, можно записать систему и для этого случая

$$\begin{aligned} v_{1x} &= \frac{(m_1 - fm_2)}{m_1 + m_2} \cdot \left(-A_{x1} w \cdot \sin(wt - \varphi_x) \right) + \\ &+ \frac{m_1(1 + f)}{m_1 + m_2} \cdot \left(-A_{x2} w \cdot \sin(wt - \varphi_x) \right); \\ v_{1y} &= \frac{(m_1 - Rm_2)}{m_1 + m_2} \cdot \left(A_{y1} w \cdot \cos(wt - \varphi_y) \right) + \\ &+ \frac{m_2(1 + R)}{m_1 + m_2} \cdot \left(A_{y2} w \cdot \cos(wt - \varphi_y) \right); \\ v_{2x} &= \frac{m_1(1 + f)}{m_1 + m_2} \cdot \left(-A_{x2} w \cdot \sin(wt - \varphi_x) \right) + \\ &+ \frac{(m_2 - fm_1)}{m_1 + m_2} \cdot \left(-A_{x2} w \cdot \sin(wt - \varphi_x) \right); \\ v_{2y} &= \frac{m_1(1 + R)}{m_1 + m_2} \cdot \left(A_{y1} w \cdot \cos(wt - \varphi_y) \right) + \\ &+ \frac{(m_2 - Rm_1)}{m_1 + m_2} \cdot \left(A_{y2} w \cdot \cos(wt - \varphi_y) \right); \end{aligned}$$

$$\begin{split} w_{1}^{'} &= \frac{(I_{1} - f \cdot I_{2}) \cdot \frac{(-A_{x1}w \cdot \sin(wt - \varphi_{x}))}{\rho_{u1}}}{I_{1} + I_{2}} + \\ &+ \frac{I_{2} \cdot (1 + f) \cdot \frac{(-A_{x2}w) \cdot \sin(wt - \varphi_{x})}{\rho_{u2}}}{I_{1} + I_{2}}; \\ w_{2}^{'} &= \frac{I_{1} \cdot (1 + f) \cdot \frac{(-A_{x1}w \cdot \sin(wt - \varphi_{x}))}{\rho_{u1}}}{I_{1} + I_{2}} + \\ &+ \frac{\left(I_{2} - fI_{1} \cdot \frac{(-A_{x2}w) \cdot \sin(wt - \varphi_{x}))}{\rho_{u2}}\right)}{I_{1} + I_{2}} \end{split}$$

где A_{x1} , A_{x2} , A_{y1} , A_{y2} – амплитуды колебаний 1-го и 2-го соударяемых шаровых слоёв.

СПИСОК ЛИТЕРАТУРЫ

- 1. Овчинников, П. Ф. Методы расчета параметров усталостного виброизмельчения / П. Ф. Овчинников // Физико-химическая механика и лиофильность дисперсных систем. 1989, Вып. 20. С. 77-81.
- 2. Овчинников, П. Ф. Расчет зон изменения параметров вибрации при тонком измельчении / П. Ф. Овчинников, Н. Д. Орлова, Х. И. Гаврильченко // Теор. Основы хим. Технологии. 1987. Т. 21. № 3. С. 418-422.
- 3. Овчинников, П. Ф. Виброреология / П. Ф. Овчинников. Киев. : Наука думка, 1983. 270с.
- 4.Веригин, Ю. А. Теоретические основы процессов активации тонких сред при их измельчении и смешении / Ю. А. Веригин // «Вибротехнология-91»: Всесоюзн. Научн. Шк. По смешению материалов и сред, 22-29 сентября 1991, г. Одесса: Конспекты лекций, ч.3. 1991. С. 15-22.

Сартаков А.В. – к.т.н., доцент кафедры «Технология и механизация строительства» ФГБОУ ВО АлтГТУ им. И.И. Ползунова, E-mail: sartakov_1974@mail.ru.